

ANEXO 4.1 - Regressão linear referente à resistência à abrasão considerando a totalidade dos tecidos

Equação de regressão:

$$RA_{\text{Global}} (\text{ciclos}) = 19274 \cdot DPL - 8549$$

com um coeficiente de determinação $R^2 = 0,8574$

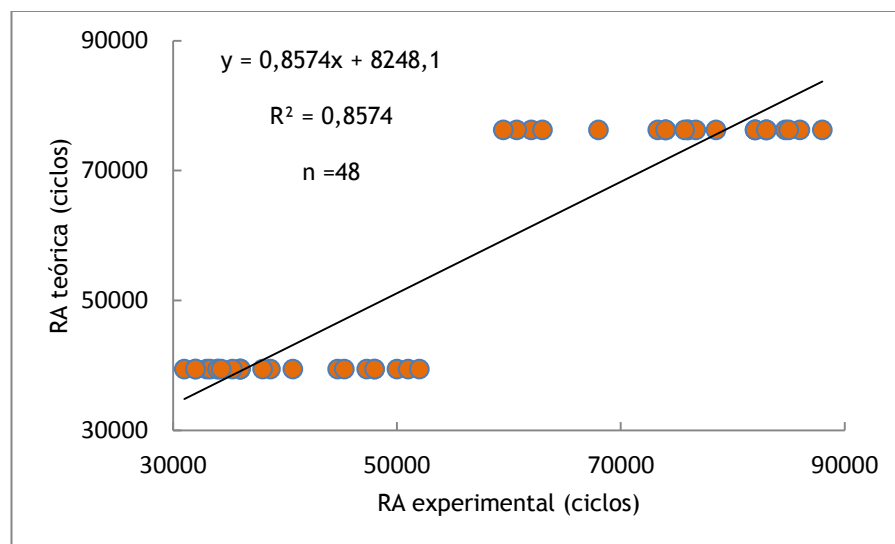


Gráfico A.4.1 - Correlação entre a RA experimental_{global} e a RA teórica_{global}

ANEXO 4.2 - Regressão linear referente à resistência à abrasão, considerando o grupo de tecidos 55% poliéster/45% lã

Equação de regressão:

$$RA_{55/45} \text{ (ciclos)} = 19241 \cdot DPL - 3160$$

com um coeficiente de determinação $R^2 = 0,9270$

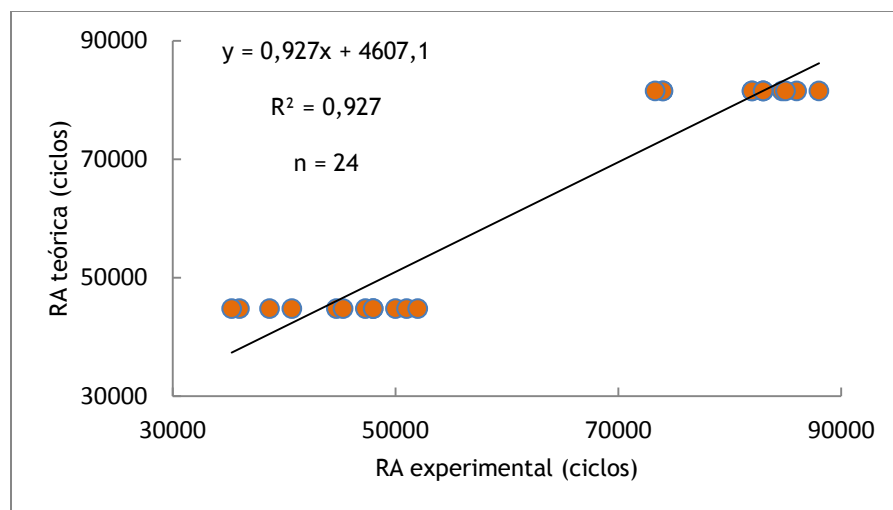


Gráfico A.4.2 - Correlação entre a RA experimental $_{55/45}$ e a RA teórica $_{55/45}$

ANEXO 4.3 - Regressão linear referente à resistência à abrasão considerando o grupo de tecidos 60% lã/40% poliéster

Equação de regressão:

$$RA_{60/40} \text{ (ciclos)} = 19306 \cdot DPL - 13939$$

com um coeficiente de determinação $R^2 = 0,9179$

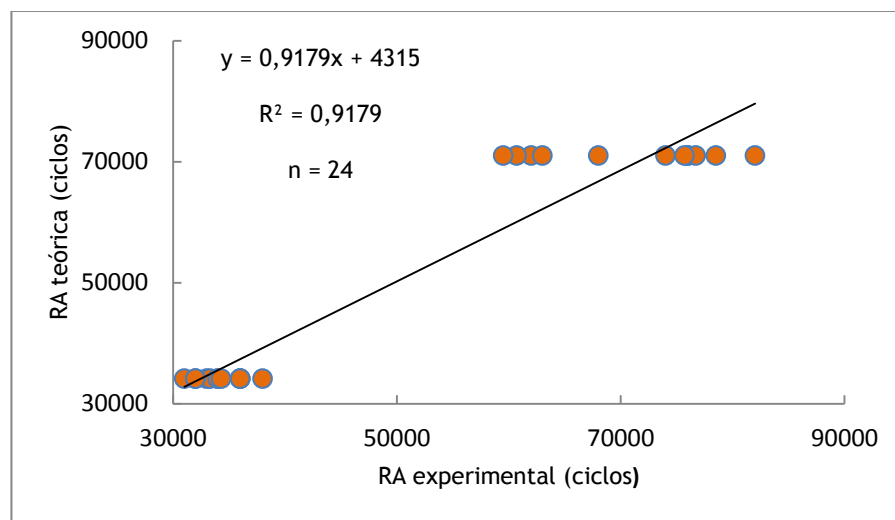


Gráfico A.4.3 - Correlação entre a RA experimental $_{60/40}$ e a RA teórica $_{60/40}$